

大阪市立大学工学部 正員 三瀬 貞
 大阪市立大学工学部 正員 山田 慶
 大阪市立大学大学院 学生員 ○真嶋光保

1.はじめに

薄層舗装と称されるものに対してはまだ明確な定義は、現在のところ与えられていない。しかし、一般にそう呼ばれているものには、すべり止め舗装やカラー舗装、橋面舗装などがある。最近このような交通安全对策や、死荷重を軽減せよという面から各方面ごとに種々の薄層舗装がみられるようになった。材料についても、これまでのアスファルト系以外にも合成樹脂系などがみられるようである。

さて、このような現状に対して、設計においてはいざれの場合についても、下層の舗装体あるいは構造物が交通荷重を支えるものとして取扱われ、薄層舗装自身は应力分担は期待されない。また材料の特性上将来においてもおそらくそういうことは無いと考えられる。しかし薄層といえども、直接交通荷重に接すること、上下層の弾性係数の相違により、上層部に应力集中がみられること、などを考慮すると、少くとも予想される荷重に対する力学的な安定性が要求される。本研究は舗装を構造としてとらえ、力学的な解析計算を行った上で、薄層舗装材に必要な性状を明確しようとするものである。

2.破壊の実態

破壊の形態は種々考えられるが、一例として数年前に試験舗装として施工されたカラー舗装の現在までに観測されたものを次に示す。尚この舗装は薄層舗装を施工しない部分については、未だ破壊は認められず、供用に行き障害なく十分に設計であったと考えられる。

①薄層部が剥離し、下層表面が露出したものの。

②薄層部のひびわれにとびましたものの。

③薄層部のひびわれとともに、ほくりしてしまったもの。

④薄層部のみではなく他のアスファルト層まで進展し、アスファルト層とともにほくりし、舗装全体を破壊してしまったもの。

この中には、薄層舗装のために蔽裏されてしまうある故、上下層の関連より、材料に必要な特性を明白にしなければならないことが解った。

3.舗装体に働く荷重

路面に鉛直に働く荷重は設計載荷重を考える。数値的には $P = 8t$ であり載荷面は経験的に使用される半径 $a = 1/2 + P = 20cm$ の円形、荷重分布強度 $\beta = 6.4 kg/cm^2$ とする。この間に Barber, E. は、舗装の表面に1つずつうる2種類のセン断力が働くとしている。1つは、車が発進、停止、カーブ走行時などにおける摩擦力である。この摩擦系数は路面によって違うが約0.8前後、大きい時は1近くになることがある。もう1つはタイヤの内圧によるものである。内圧を受けるタイヤが路面に接触すると、プレストレスが減少し、そのため接触面の中心方向に向ってセン断応力が作用することになる。この力は垂直力と同程度の

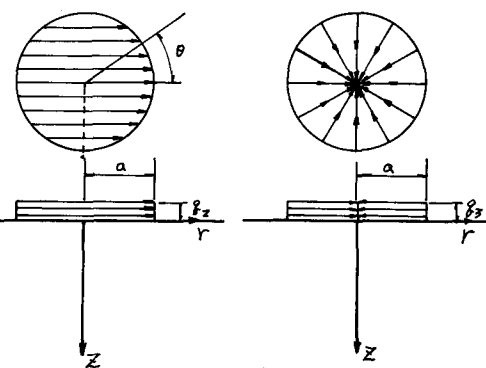


fig-1 円形事が分布荷重 fig-2 円形求心水平荷重

オーダーを持ち、時には無視することができない場合もありうる。この3つのそれぞれについて数値計算を行い、重ね合せたものを舗装体内の応力を考える。

4. 計算例

今回の計算法は全て Barber の仮定を採用している。2層構造の場合 fig-3に示したように第1層の厚さを h 、第1層と第2層の材料の変形係数、ボアソン比をそれぞれ E_1, E_2, ν_1, ν_2 とする。第1層の厚さが第2層と同じ材料で2倍の上におかれると上の上で溝溝されると同じ力学的効果あるとして、又は次式によて与えられる。

$$Z = h^3 \sqrt{\frac{E_1(1-\nu_2)^2}{E_2(1-\nu_1)^2}}$$

この假定から明らかなように境界面は完全に離り合う。

一般に3次元弹性論⁽²⁾によると変位方程式は、変位関数 ψ によって

$$\mu = -\frac{\partial^2 \psi}{\partial r^2} + \frac{2}{r} \frac{\partial \psi}{\partial r} \quad \nu = -\frac{\partial^2 \psi}{\partial z^2} - \frac{\partial^2 \psi}{\partial r^2} - \frac{\partial^2 \psi}{\partial \theta^2}$$

と表すと $\Delta^2 \psi = 0$, $\Delta^2 \nu = 0$ 。応力-ひずみ関係式を

$$\frac{\sigma_r}{2M} = \frac{\partial}{\partial z} \left(\nu \Delta^2 \psi - \frac{\partial^2 \psi}{\partial r^2} \right) + \frac{2}{r} \frac{\partial^2 \psi}{\partial r^2} - \frac{2}{r^2} \frac{\partial \psi}{\partial r}$$

$$\frac{\sigma_\theta}{2M} = \frac{\partial}{\partial z} \left(\nu \Delta^2 \nu - \frac{1}{r} \frac{\partial \nu}{\partial r} - \frac{1}{r^2} \frac{\partial^2 \nu}{\partial \theta^2} \right) - \frac{2}{r} \frac{\partial^2 \nu}{\partial r^2} + \frac{2}{r^2} \frac{\partial \nu}{\partial r}$$

$$\frac{\tau_{rz}}{2M} = \frac{\partial}{\partial z} \left[(2-\nu) \Delta^2 \psi - \frac{\partial^2 \psi}{\partial \theta^2} \right]$$

$$\frac{T_{rz}}{2M} = \frac{\partial}{\partial r} \left[(1-\nu) \Delta^2 \psi - \frac{\partial^2 \psi}{\partial z^2} \right] - \frac{\partial^2 \psi}{\partial r^2}$$

$$\frac{T_{rr}}{2M} = \frac{\partial}{\partial r} \left[(1-\nu) \Delta^2 \nu - \frac{\partial^2 \nu}{\partial z^2} \right] + \frac{\partial^2 \nu}{\partial r^2}$$

$$\frac{T_{\theta\theta}}{2M} = \frac{\partial^2}{\partial \theta^2} \left(\frac{\psi}{r} - \frac{\partial \psi}{\partial r} - 2 \frac{\partial^2 \psi}{\partial r^2} - \frac{\partial^2 \psi}{\partial z^2} \right)$$

ここに M はせん断剛性率である。

○境界条件

・円形等分布荷重直荷重

$$(f_r)_{z=0} = g_1 : r \leq a \quad 0 : r > a \quad (T_{\theta\theta})_{z=0} = 0$$

・円形等分布水平荷重

$$(f_r)_{z=0} = 0 \quad (T_{\theta\theta})_{z=0} = g_2 : 0 \leq r \leq a \quad 0 : r > a \\ (T_{\theta\theta})_{z=0} = g_3 : 0 \leq r \leq a \quad 0 : r > a$$

・重心等分布水平荷重

$$(f_r)_{z=0} = 0 \quad T_{\theta\theta} = 0 \quad T_{rr} = g_3$$

この他無限遠点で変位、応力を零。

以上の計算式から簡単な点で行った結果を fig-5 に示す。とくに円形中央点で fig-5(1)は物直荷重)ときの鉛直応力 fig-6(1)は直荷重の水平応力)、水平荷重の重心応力(2)を示す。その他の点や考慮について(3)は溝溝で(4)は Barber, E.S. "Shear Loads on Pavement," 2) 年版(1955)を参考

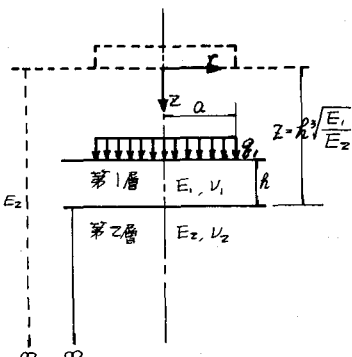


fig-3 條算厚さ

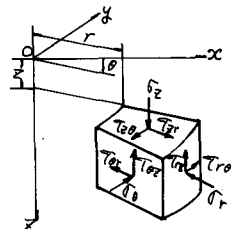


fig-5 内筒座標

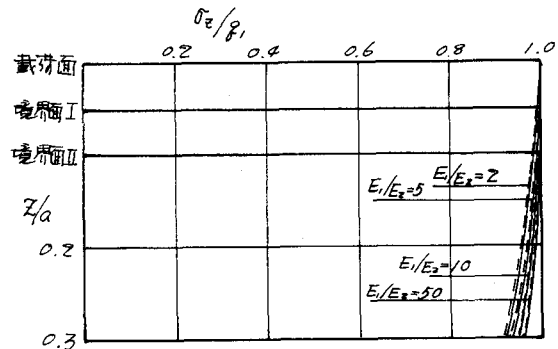


fig-5 條算に応じた関係

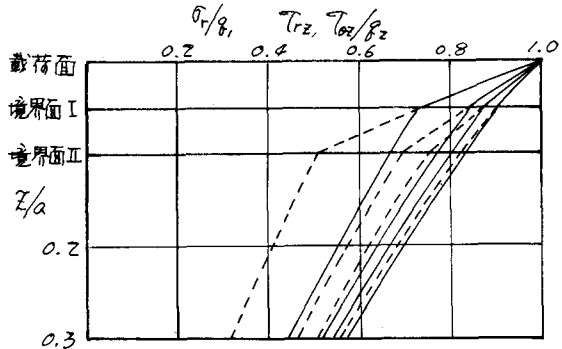


fig-6 滑重に応じた関係